

波状曲面上の一向向流と伴う振動流

東北大学大学院 学生員 田中 仁
東北大学工学部 工員 首藤伸夫

1. はじめに

流れによる砂移動量は底面剪断力と密接な関係を有する。著者らは二つ考え方を採・流水実験場に拡張して、砂移動量の定式化試みたが、現象を充分に説明するには至らなかった。¹⁾通常、移動床面上には河床波形形成までの段階で、底面近傍には剥離渦と特徴付けられる波状曲面特有の流れの場が形成される。二つの異なる場における砂移動現象をシールド数の形で表現すれば二つは困難である。波状曲面付近の流体運動、特に剥離渦の挙動を調べ、さらに砂粒子の運動機構を解明するに至り、より精度良い砂移動量の定式化が可能になると考へられた。²⁾今回、拡大砂連模型を用いて詳細な乱流計測および可視化を行なった。

2. 実験方法

実験装置を図1に示す。実験に用いた流体は空気である。風洞下流端のピストンヒサフショットにより振動流と一方向流を発生させた。従って、定常流成分は風の左から右に向かう。実験に先立ち、移動床開水路式準備実験を行ない、その時の流れと幾何学的および力学的に相似な空気流を風洞内に発生させた。波状曲面上には、より相似条件を満足する砂粒子を貼り付けた。

流速測定には熱線流速計X型センサーを用い、水平・鉛直の二方向成分を測定した。可視化にはスモーク・マイヤ法を用いた。砂連模型形状、流速測定測点位置およびスモーク・マイヤの設置測線を図2に示した。図中のYは床面を原点とする座標系を定義を示した。

非定常乱流場の乱れ成分抽出法については論議がある。³⁾本研究では5Hzのハイパス・フィルターを通過した成分を乱れとした。サンサンガル波数は100波、サンプリング周波数は100Hzである。

3. 実験結果

測定された水平流速の二周期分を図3(a), (b)に示した。それよりの測線は $x=16\text{cm}$, $x=30\text{cm}$ である。位相 $t/T=0$ は、図1のピストンがセイ全位動区間を左から右に横切る瞬間に相当している。図より読み取れる二点を記すと、①風洞中心($Y=20.9\text{cm}$)の波形は x によらず、ほぼ u (m/s)同様である。よって、波状曲面の効果は上方に及んでおらず、実際の開水路流れに近い現象が再現されている。

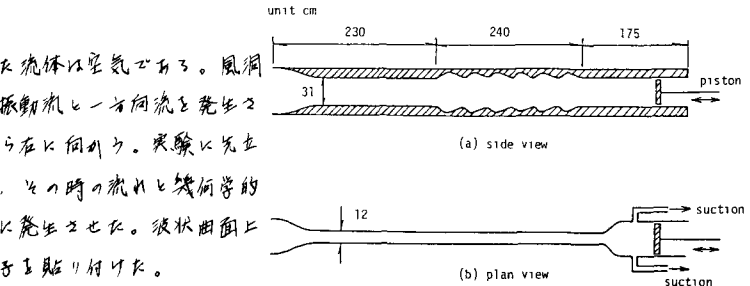


図1 実験装置

● measured point
--- smoke wire

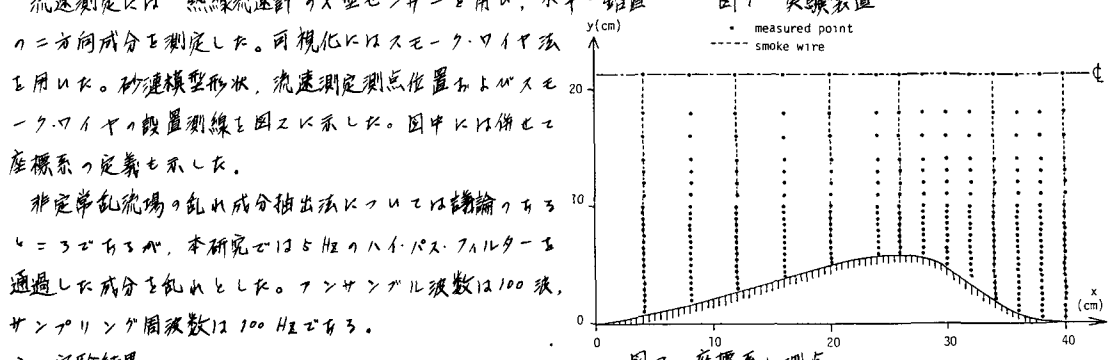


図2 座標系と測点

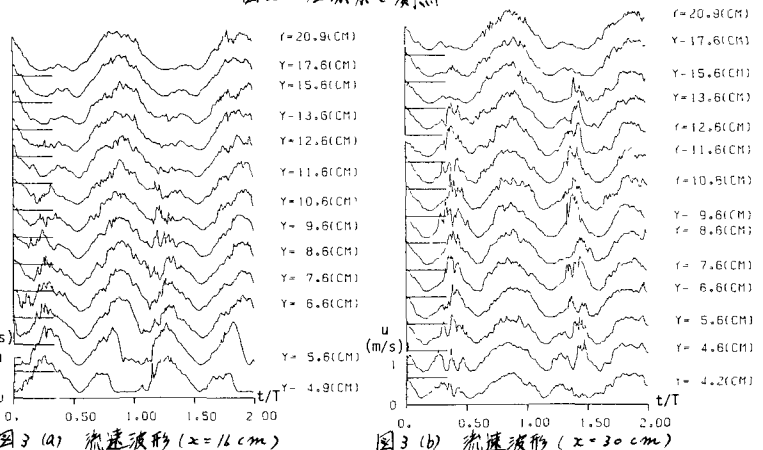


図3 (b) 流速波形 ($x=30\text{cm}$)

3, ②風洞中心付近では正弦振動が上方にシフトアップしてあり、波・流れ共存時に持つ波形を示している。一方、砂連模型近くでは、順流時ピークと逆流時ピークに差がない。特に $x=30\text{ cm}$ の壁面近くでは、却て逆流ピークの方が大きい、③ $x=16\text{ cm}$ での逆流時波形は順流時のものに比べて立ち上がりが早く、また強い乱れ相伴う。後述する様に、現象は砂連急斜面側に形成された後流域に起因している。

代表的な3つの位相における、可視化写真、平均流速ベクトル、乱れ強度分布を示したのが図4(a), (b), (c)である。ただし、流速ベクトル図中で、逆流速度を適宜負側に折り返して表示している。また、最下段の△印は水平方向乱れ強度 $\sqrt{u^2}$ 、○印は鉛直方向乱れ強度 $\sqrt{v^2}$ を表わしている。

$t/T = -5/12$ から $t/T = 0$ までの流速はほぼゼロになり、その後、 x 軸正方向に加速を始める。従って、図4(a)は右向主流による転じた直後の位相に対するもの。砂連頂部は線状剥離を見られない。乱れ強度は $t/T = 1/12$, $x = 32\text{ cm}$ の壁面近傍で幾分大きい値を有する領域が見らるゝが、各測線が離れて差異は認められない。主流は $t/T = -1/12$ で最大値を達するが、この直前で砂連頂部は剥離した。剥離の発生と同時に砂連背後域の乱れ強度が増大する。主流の右向主流速が減速し転じた直後の測定結果が図4(b)である。後流域が広がり、乱れが増加して高乱れ強度を有する領域が広がる。一方、主流速度がゼロに近づくと、砂連の急斜面近傍で左向主流速を有する流体塊が下方から上昇する様に緩斜面側へ放出される。図3(b)が壁面近傍流速波形に位相の進行が認められ、また逆流時に強い乱れ相伴うのはこのためである。左向主流速が最大値に達した時の結果が図4(c)である。高乱れ強度を有する前流域が下方に移動していく様子が捉えられている。

Inman & Bowen²⁾ が行なった実験条件では、波と流れが同方向に進む時、NETの砂移動方向は下流向きであり、定常流速が増加する毎に流砂量が減少する。一方、条件では上流に向かうNETの流砂量を観測されている。波と流れが単純なベクトル的合併式を立てたならば、この様な現象は説明できない。左回、風洞実験が明らかとなると、その後流場の挙動は Inman et al. により観測され砂移動現象も理解の一助となる。循環(circulation)等が複雑化されると、流砂量則の定式化が可能にならなくなられる。一方で、開水路流れにおいては、流速場の非対称性が生じたり要因として、一方向流の存在や他の波の非線型性が起因するものと想われる。今回、振動流装置で観測されたものと比べ、より複雑な現象となるべきである。

《謝辞》本研究を行なうにあたり、東北大学工学部山路弘人技官には多大な助力を得た。本研究の一部は文部省科学研究費(代表者: 東工大日野幹雄教授)により行なわれた。ここに記して、深甚なる謝意を表す。

《参考文献》 1) 佐藤・田中・首藤: 第38回年譲, 1983. 2) Inman・Bowen: Proc. 8th ICCE, 1963.

